

用电容法测定松散砂質粘性 土含水量和孔隙率的規程

全苏給水、排水、水工建筑物和工程水文地質科学研究所

水利出版社

苏 联
建 筑 工 程 部
技 術 · 处

全苏给水、排水、水工建筑物和
工程水文地质科学研究所
(ВОДГЕО)

用电容法测定松散土层性质
土含水量和孔隙率试验馆

吳 兆 麟 鄭 國 平
水 科 部 南京水 科 学 研 究 所
交 通 部

藏 书 章

水 利 出 版 社

1957年12月

本書分正文和附錄兩部分，正文是根據“Указания по применению электроемкостного метода определения влажности и пористости рыхлых песчано-глинистых грунтов”一書譯出，附錄根據“Методы определения естественной влажности и пористости песчаных грунтов”一書譯出，上述二書均系全蘇給水、排水、水工建築物和工程水文地質研究所 Г.Я. 乞爾涅克編著。

本規程是用电容法測定砂性粘質土的含水量和孔隙率各个具体操作步驟的指南，对此法的野外工作、校准工作和測定成果的整理都作了指導性的說明。附錄介紹了用电容法測定砂土天然含水量和孔隙率的原理和方法。

本書是土壤、土壤改良、地質、水文地質、勘測和施工工作者和研究人員实际工作中的指導性書籍，亦可作为大学有关院系相应專業的参考書。

正文譯者是吳兆麟、鄧國平兩位同志，校者是鄭宜梁、陳耀祖、陳明侯三位同志，附錄譯者是前南京水利實驗處袁百匯同志，校者是曹建人、褚德珊兩位同志。

用电容法測定松散砂質粘性土含水量和孔隙率的規程

原 書 名 УКАЗАНИЯ ПО ПРИМЕНЕНИЮ ЭЛЕКТРОЕМКОСТНОГО МЕТОДА ОПРЕДЕЛЕНИЯ ВЛАЖНОСТИ И ПОРISTОСТИ РЫХЛЫХ ПЕСЧАНО-ГЛИНИСТЫХ ГРУНТОВ

原 著 者 ВОДГЕО

原 出 版 处 МОСКВА

原 出 版 年 份 1954

譯 者 吳兆麟 鄧國平

水利部 南京水利科学研究所
交通部

出 版 者 水利出版社(北京和平門內北新華街35號)

北京市書刊出版業營業許可証出字第080號

印 刷 者 水利出版社印刷厂(北京西城成方街13號)

發 行 者 新華書店

85千字 插圖2頁 850×1168 1/32开 35/8印張

1957年12月第一版 北京第一次印刷 印数1—1,600

統一書号：15047·103 定价·(10)0.65元

目 錄

正 文

原出版者的話.....	1
序 言.....	2
第一章 电容法的物理基礎及应用仪器的說明.....	4
第二章 非飽和区内松散砂質粘性土含水狀況的研究.....	15
§1.野外工作.....	16
§2.校准工作.....	19
§3.測定成果的整理.....	23
第三章 濕砂和飽和砂天然孔隙率的確定.....	25
§1.野外工作.....	26
§2.校准工作.....	31
§3.測定成果的整理.....	33
結束語.....	37

附 錄

序 言.....	41
第一章 緒論.....	42
§1.砂土及其性質.....	42
§2.用土工試驗方法確定砂土含水量和孔隙率的一些知識.....	48
§3.確定砂土含水量和孔隙率的地球物理法簡述.....	54
第二章 濕土的介電常數及其在實際應用中的某些嘗試.....	63
§1.概述.....	63
§2.土的介電常數.....	63
§3.若干歷史情節的回顧.....	66
第三章 电容法的物理技術基礎.....	70
§1.电極化.....	70
§2.確定土的介電常數的電容法.....	73

第四章	實驗室試驗成果	30
§1.	用濕土(含水量小於飽和含水量)進行的實驗室工作	30
§2.	用飽和砂進行的實驗室工作	34
§3.	觀察砂性體內滲透的實驗室試驗	36
第五章	非飽和區內土的含水量動態的野外調查	37
§1.	野外工作的方法	37
§2.	野外試驗的一些成果	39
第六章	飽和砂天然孔隙率的野外調查	92
§1.	野外工作的方法	92
§2.	介電測量野外試驗成果	96
結束語		100
參考資料		102

原出版者的話

“用电容法測定松散砂質粘性土含水量和孔隙率的規程”一書是科学技術副博士 Г.Я. 乞尔涅克在全苏給水、排水、水工建筑物及工程水文地質科学研究所 (Всесоюзный научно-исследовательский институт водоснабжения, канализации, гидротехнических сооружений и инженерной гидрогеологии 簡称 “ВОДГЕО”) 的工程水文地質試驗室編著的，經科学技術委員会(Научно-технический совет)審查，并同意出版。

編輯 М.П. 西明諾夫教授

序　　言

自然含水量和孔隙率是松散砂質粘性土最重要的特性，这些特性确定了土的承载能力和稳定性，以及一些其他性质。在苏联，且大规模的水利和灌溉工程建设，要求在观察和检查土的含水量方面的大量工作进一步机械化，并要求寻找较灵活和较经济的方法来确定潮湿土壤的，特别是地下水位以下饱和砂的天然孔隙率。

为了解决上述问题，本研究所的科学工作者、科学副博士Г.Я.乞尔涅克建议用高频率方法来研究松散土的天然孔隙率和含水量的变动，这个方法将在以后说明。

上述方法，在本研究所的试验室进行了检验，而有关确定饱和砂天然孔隙率的问题还在古比雪夫、卡霍夫卡、高尔基等水电站的工程中进行了试验，结果是圆满的。

本研究所在1950年出版的“用电容法观测土含水状况的暂行规程”现在已经售完，并已颇为陈旧了。

考虑到勘察设计单位和生产单位，今后仍需要这一规程，本研究所的编辑委员会决定刊印该书修正和增订的第二版。

在生产条件下广泛和普遍运用电容法来解决在各种不同的土壤和水文地质情况下的各种问题，就有可能使观测设备各个部件的结构，以及进行工作的方法和观测成果的整理方法得到相当的修正和改善。

无论在电容法的物理技术原理方面，或在仪器安装及试验方法方面，本研究所还在继续对新方法进行研究，为此，请将在实际运

用此法于各种情况和解决各种問題时所產生的意見和建議，以及在野外与試驗室中取得的全部电測試驗資料的副本寄給我們 (Москва 131, Большие Кочки, д. 17а)。

全苏給水、排水、水工建筑物和工程水文地質研究所

第一章 电容法的物理基礎及应用儀器的說明

1. 在弱電領域內，可用兩個基本參數來表明岩類（土）的特性：導電率 σ （或者，在交變電壓時用介質損耗角 δ ）和介電常數 ε 。上述二參數與土所有的其它性質有着密切的關係，例如與含水量、孔隙率、結構、溫度、顆粒組成和礦物成分以及溶於地下水中的電解質的成分和濃度。

在所述探測潮濕土的電容法中，同時利用了上述兩個電氣特性。

這個方法的實質是用測定電容器的電容量和能量損失的方法來確定土的介電常數。在電容器中被探測的土壤起着介質的作用。此法要點如下：

a) 水的介電常數 ($\varepsilon=80$) 大於土骨架的介電常數 ($\varepsilon=3 \sim 10$) 許多倍，這就為利用此參數來研究土的含水量創造了物理前提；

b) 地下水的介電常數，實際上與溶解於地下水中的電解質的化學成分和濃度無關；

c) 分散體系（這裡指松散濕土）的介電常數，與其組成部分的體積比有關；換句話說，土的 ε 值，決定於被測體積中水的總量，也就是決定於其容積含水量 n_w ，並且，由於孔隙率 n 與容積含水量 n_w 是相互關聯的，因而也決定於土的孔隙率 n 。同時僅总的孔隙率才是最本質的，而孔隙本身的大小和形狀僅起著次要的作用，這就有利於將這一參數和土的導電率區別開來。

電容法的基礎在於插入某種介質的電容器的電容量是這種介質

的介电常数和介质中介质损耗的函数。测定装入土中的电容器的电容量与土中的介质损耗，即可算出土中的介电常数。

为此利用高频率（1~100兆周左右）交流电来测定最为有利。

测定工作是用“РВ-6 ВОДГЕО”型轻便电测仪来进行的。

2. “РВ-6 ВОДГЕО”仪用测定电容器的电容量和被测土中相应结构电容器损耗角的方法来测定松散土（砂、砂壤土、轻壤土）的介电常数。

3. 仪器是根据差拍法（外差法）的原理而设计出来的。

4. 电容的测定应按置换法来进行。

5. “РВ-6 ВОДГЕО”仪器的原理图应似图1所示。图中定频晶体振荡器 Γ_K 和变频工作振荡器 Γ_P 所发生的振荡，供给交流电

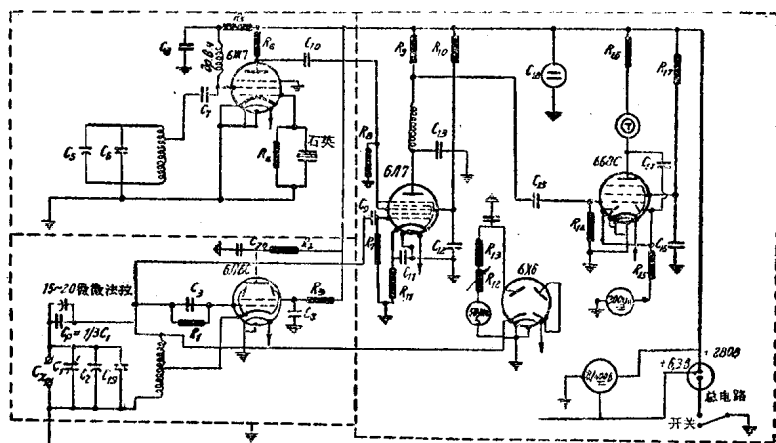


图1 “РВ-6 ВОДГЕО”仪原理示意图

C_1 —一直线电容式可变电容器，450微微法拉；空气式微调电容器 $C_2=C_5=40$ 微微法拉；云母电容器： $C_3=100$ 微微法拉， $C_6=200$ 微微法拉， $C_7=30$ 微微法拉， $C_{13}=500$ 微微法拉， $C_{20}=300$ 微微法拉；陶质电容器： $C_9=10$ 微微法拉， $C_{10}=10$ 微微法拉；纸质电容器： $C_4=C_8=C_{11}=C_{14}=0.1$ 微法拉， $C_{16}=C_{15}=1$ 微法拉， $C_{12}=C_{15}=0.25$ 微法拉， $C_{17}=0.5$ 微法拉；电阻：0.25 瓦特： $R_1=100$ 千欧姆， $R_4=1$ 姆欧， $R_7=R_8=0.5$ 姆欧， $R_{13}=7\sim10$ 姆欧， $R_{14}=0.2$ 姆欧， $R_{15}=0.3$ 姆欧；0.5 瓦特： $R_5=R_9=30$ 千欧姆， $R_6=50$ 千欧姆， $R_{10}=80$ 千欧姆， $R_{11}=500$ 欧姆；1 瓦特： $R_3=15$ 千欧姆， $R_{16}=100$ 千欧姆， $R_{17}=50$ 千欧姆；5 瓦特 $R_2=5$ 千欧姆；电位计 $R_{12}=2$ 姆欧。

子管 6П17，这里發生混頻和檢波，并在輸出處消除了差頻（拍頻）振蕩。電子管 6Б8С 的五極管部分是用來放大所獲得的拍頻，而在兩個雙極管部分上裝有這種拍頻指示器，它是按陰極電壓表的原理而動作的，并且在電流為“零拍頻”時指示器上的指針降到零。

將被測電容器 C_x 與振蕩器 Γ_p ircuit 中的精密電容器 C_1 相并聯，其結果就改變了振蕩電路的有效電容量，由此改變了振蕩器 Γ_p 的振蕩頻率，也因而改變了在指示器（電表——譯者注）輸出端上的拍頻。

為了得到零拍頻（此時振蕩器 Γ_K 和 Γ_p 的頻率相等），則電路中有效電容量的增加，可以用精密電容器 C_1 的電容量的相應減少來平衡。

6. 共同為一個混頻器工作的振蕩器 Γ_K 和 Γ_p ，相互之間不應有明顯的直接耦合。振蕩器整步頻率的容許耦合值，應以能够聽到每秒一周（1 赫芝）的拍音為度。

7. 在電路中應安裝磁石電話耳機及 M-598 型或 M-592 型 100~500 微安培的小型微安培表來作為拍頻的指示器。

8. 精密電容器 C_1 必須是品質優良的，電容量為 400~500 微微法拉的直線電容式可變電容器。

9. 精密電容器 C_1 被安置在 1:50 的蝸杆微調機構上，該蝸杆微調機構在電容器軸上裝有一個能夠讀到 0.2 微微法拉的度盤（帶有游標）。測定的相對誤差，不得超過 1 %。

10. 為了接入被測電容器 C_x ，用一段長為 1.0~1.2 公尺的同軸電視電纜 Γ_3-75 作成活絡插頭，電纜的一端，牢固地插入儀器，把電纜的外皮焊于儀器的外殼上，而電纜的芯線焊接于電容器 C_1 的定片上。在電纜的另一端，裝置普通的電插頭。為了防潮起見，從插頭腳端將插頭灌以純石蠟。

為了便於使用，建議盡力設法標明與電纜芯線相接連的插腳（例如，用某種鮮明的顏色塗插頭）。

電纜和插頭裝竣以後，才可調整儀器，並進行儀器的全部校準

工作。

11. 电路中的介質損耗（其中包括被測電容器的介質損耗），可用二極電壓表測定電路中交流電壓振幅 U 的方法來進行計算。二極電壓表系裝在 6×6 電子管上，並于其電路中裝上 $50 \sim 200$ 微安培的微安培表。微安培表應具有一個長度不小于 7 公分的度盤。

12. 晶體振蕩器的振蕩頻率應為每秒 1,500 仟周左右，而工作振蕩器則須相應為每秒 3,000 仟周，以便使在振蕩器 Γ_p 的基本頻率及振蕩器 Γ_K 的二次諧波之間發生拍頻。此時在儀器的調整過程中，振蕩器 Γ_p 的振蕩電路，在開始時不接入電容器 C_n ，並調整到晶體振蕩器的頻率，然後接入電容器 $C_n \cong \frac{1}{2}C_1$ ，結果振蕩器 Γ_p 的頻率增加了一倍。

13. 儀器的電源，應由蓄電池及干電池組或經由分開裝置的穩定整流器的交流電源來供給。

14. 在儀器的電路中，規定使用 $0 \sim 8/400$ 伏的 M-61 型小型二極伏特計來檢查電源的電壓。

15. 所有的度盤，控制旋鈕和接線柱，僅接到儀器的機盤面板上。

16. 儀器的底架安置在大小約 $45 \times 35 \times 20$ 公分的特置鋁箱里，鋁箱裝着具有螺絲的安裝板，以便將儀器固定于水平儀式的三角架上。

17. 電容器 C_1 的度盤（度盤 a）的校準工作，是由接入儀器接線柱的高頻率標準電容箱來進行，並列成表格（表 1）貼于儀器上。

18. 微安培表的度盤，須根據損耗來校準兩次：一次在土未飽和時，另一次在土的空隙完全為水飽和時。

進行校準時，須使用試驗室用的電容器和先在熱蒸餾水中仔細洗淨然後又烘干的均勻細砂。

19. 在處于飽和狀態下的土中，其損耗的校準工作按下述方法進行：

a) 以各种不同浓度 q 克/公升的食鹽水，逐次地將砂飽和，用實驗的方法，確定並繪制其 $k_1 = \frac{C}{C_K} = f(q)$ 与 $\frac{U_0}{U} = \varphi_1(q)$ 的关系曲綫；整個測定須在砂的極緊密狀態下進行。 q 值為 0 到 4 克/公升，其間隔為 0.5 克/公升，盛着為蒸餾水所飽和的砂的電容器，取其電容量作為 C 值。

b) 根據這兩根曲綫，對一定的 q 值，取與其相應的 k_1 和 $\frac{U_0}{U}$ 值，然後作 $k_1 = \varphi_1\left(\frac{U_0}{U}\right)$ 曲綫；將此曲綫以 1 公分 = 0.05 單位的比例尺（縱橫坐標相同）繪于米厘紙上。

此曲綫就是根據飽和土中的損耗而得的儀器校準曲綫。為簡便起見，根據此曲綫編成系數 k_1 的表格（表 2）。

**表 2 “РВ-6 ВОДГЕО” № 仪器电路中电压 U 度盤
按損耗系数 k_1 的校准表**

比 值 U_0/U										
个位及小数点一位	小 数 点 二 位									
	0	1	2	3	4	5	6	7	8	9
1.0	1.000	1.000	1.000	1.000	0.999	0.999	0.998	0.998	0.997	0.996
1.1	0.995	0.994	0.993	0.992	0.991	0.990	0.989	0.988	0.986	0.984
1.2	0.982	0.980	0.978	0.976	0.974	0.972	0.970	0.968	0.966	0.964
1.3	0.962	0.960	0.958	0.956	0.954	0.952	0.950	0.948	0.946	0.944
1.4	0.942	0.940	0.938	0.936	0.934	0.932	0.930	0.928	0.926	0.924
1.5	0.922	0.920	0.918	0.916	0.914	0.912	0.910	0.908	0.906	0.904
1.6	0.902	0.900	0.898	0.896	0.894	0.892	0.890	0.888	0.886	0.884
⋮	⋮	⋮	⋮	⋮	⋮	⋮	⋮	⋮	⋮	⋮

20. 按未飽和土中的損耗進行校准的程序如下：

a) 用實驗方法確定蒸餾水浸濕的砂的 $C = f(n_w)$ 關係，並繪成相應的曲綫；獲得上述關係的方法，在以後說明校正方法時述及；

b) 被礦化度為 5 克 NaCl/公升之水所浸濕的同一砂樣，用相似

的方法，确定并繪制其 $C_K = f_2(n_w)$ 与 $\frac{U_0}{U} = \varphi_2(n_w)$ 的关系曲綫，如上所述，此处 U_0 ——为 空电容器接入时微安培表的讀数， U ——为盛着潮湿砂的电容器接入仪器时微安培表的讀数；

в) 根据这些曲綫，对一定 n_w 值取与其相应的 C 、 C_K 和 $\frac{U_0}{U}$ 值，并繪出 $k_2 = \frac{C}{C_K} = \Phi_2\left(\frac{U_0}{U}\right)$ 的关系曲綫；此曲綫以 1 公分=0.05單位(兩軸相同)的比例尺，繪于米厘紙上(圖 2)。

此曲綫就是根据含水量小于飽和水量的土中的損耗而求得的仪器校准曲綫。为了簡便計算起見，根据此曲綫編成系数 k_2 的表格(表 3)。

表 3 “РВ-6 ВОДГЕО” № 仪器电路中电压 U 度盤
按損耗系数 k_2 的校准表

比 值 U_0/U										
个位及小数点一位	小 数 点 二 位									
数点一位	0	1	2	3	4	5	6	7	8	9
1.0	1.000	0.980	0.950	0.900	0.950	0.810	0.770	0.740	0.710	0.690
1.1	0.670	0.650	0.640	0.625	0.610	0.600	0.590	0.580	0.570	0.560
1.2	0.555	0.548	0.540	0.532	0.525	0.518	0.510	0.503	0.495	0.490
1.3	0.480	0.475	0.470	0.465	0.460	0.450	0.445	0.440	0.435	0.430
1.4	0.430	0.425	0.420	0.415	0.410	0.410	0.405	0.400	0.400	0.395
1.5	0.390	0.390	0.385	0.380	0.380	0.375	0.370	0.370	0.365	0.365
1.6	0.360	0.355	0.355	0.355	0.350	0.350	0.345	0.345	0.340	0.337
1.7	0.337	0.335	0.335	0.332	0.330	0.330	0.328	0.325	0.322	0.322
1.8	0.320	0.320	0.318	0.315	0.315	0.312	0.312	0.310	0.310	0.310
1.9	0.308	0.308	0.305	0.303	0.300	0.300	0.298	0.298	0.295	0.295
...

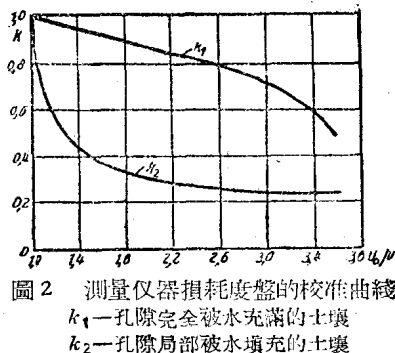


圖 2 測量仪器損耗度盤的校准曲綫
 k_1 — 孔隙完全被水充滿的土壤
 k_2 — 孔隙局部被水填充的土壤

21. 試驗室中的校正工作，系借助于类似圖3所示的柱狀試驗室用电容器对种类不同的土來進行的。

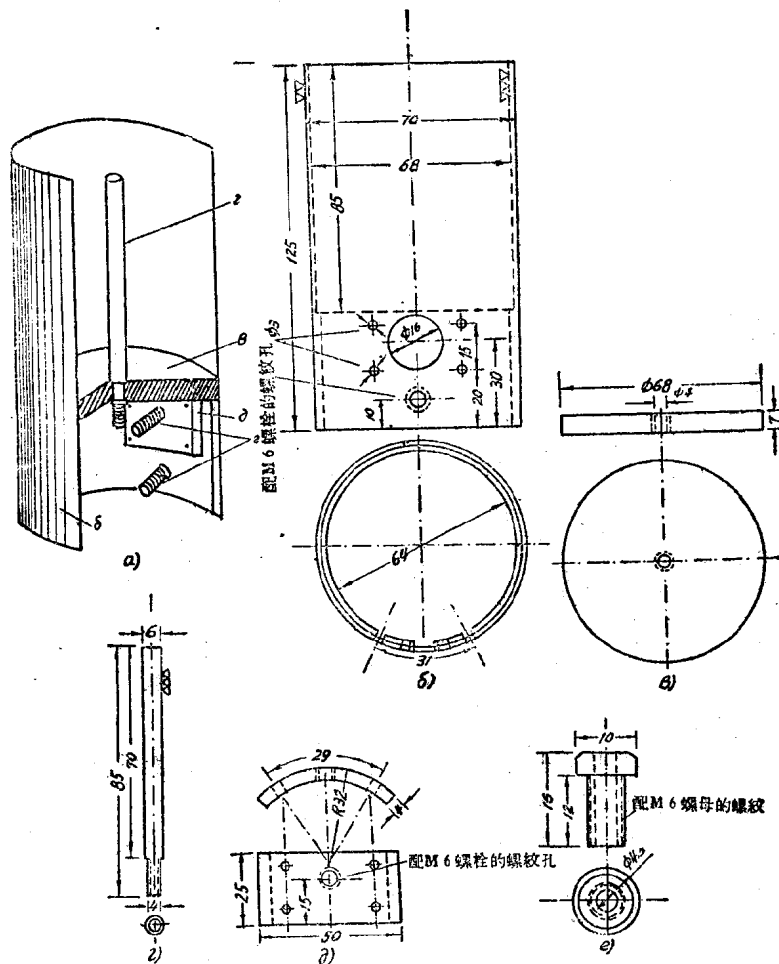


圖3 試驗室用电容器

a—总形；6—柱体（不锈钢，1个）；3—底板（硬橡胶，塑性玻璃，1块）；5—销（黄铜，不锈钢，1个）；4—薄片（或板）（硬橡胶，塑性玻璃，1块）；e—插孔（黄铜，2个）。

試驗室用電容器裝竣以後，確定其重量 p_0 、體積 v 及所謂電容器電極工作部分的“幾何”電容—電容器的特性；後者可用測定電容器被數種已知介電常數的純淨液體（例如：蓖麻油 $\epsilon=4.6$ ，丙酮—21.5，甲醇—31，甘油—56，蒸餾水—81）充滿 $\frac{3}{4}$ 時的電容量來求得，並根據這些資料，繪成 $C=C_0\epsilon+b$ 直線（圖4），直線的角系数，即所求的電容器的特性值 C_0 。

22. 野外條件下的探驗，用探針式電容器來進行。這種探針式電容器可以探測在地面以下任何深度的天然狀態的土。在同一軸的兩端相距某一距離的兩個直徑相同的金屬柱作為電容器的極片（“地氣片”及“有效片”）。在這種結構下，電容器極片兩平行面的面積遠小於其側面積。因此，電容器的電場不局限於探針本身之內，而或多或少地侵佔到探針周圍的頗大空間。這個空間，可以極粗略地認為是具有與探針式電容器同軸的柱形體，其高度約等於4倍“有效片”圓柱的長度，其直徑則接近於25倍探針的直徑。

探針的形狀和尺寸，須能保證對探針周圍介質的性質給以必要的中和，並減小介質中微小的不均勻性之值。

23. 研究在不大深度內（地面下五公尺深以內）土含水量動態的探針式電容器的構造介紹於圖5。在鑽孔中測定砂空隙率的探針式電容器的構造如圖6圖7所示。在後者的情況下，要使探針與測量儀器相聯，須用同軸電視電纜。該電纜的長度，應為儀器中工作振蕩器振蕩頻率半波長的倍數。

注：1. 圖5e的長度 L ，依探針安放的深度來選擇。

2. 圖6e上的 $\phi 13.5$ 和 ϕD 的尺寸，依圓管（圖6a）和杆（圖6ac）

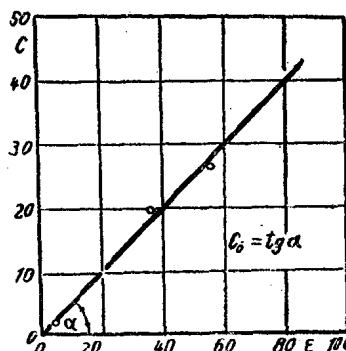


圖4 探針電容器的特性